

神戸大学・大学院 学生員。久武勝保
山梨大学・工学部 正員 平島健一

1. まえがき

三次元弾性板内に二円孔を設けた場合の孔周囲応力は従来より、双極座標系による方法、複素変数法その他の手法を用いた解析が行なわれている。このうち外荷重と応力関数で表示した双極座標系での解法は任意分布の外荷重の場合に対して一般性に乏しく、また離点法と組み合せた複素変数法は円孔周囲応力接すると収束性が低下し、計算時間が長くなる欠点がある。では、これらの欠陥を取り除くために、外荷重を級数展開し、双極座標系による解法を用いて、充分荷重より作用する三次元的に傾斜した地山荷重のもとでの二円孔周縁の応力分布を求めたものである。

2. 解法の概要

面内に作用する外荷重応力 τ_{xy}^0, τ_{yz}^0 および τ_{zx}^0 に対する解法は双極座標系を用いて Jeffery 以下多くの研究者により式の説明ならびに幾つかの数値例が示されてゐるので、では、二円孔の孔径に比較して充分荷重から面外(Z軸)方向の外荷重 τ_{xy}^0 および τ_{yz}^0 が作用する場合の解法の概要を述べよう。

いま、次式で定義されるような双極座標系:

$$\alpha + i\beta = \log \frac{x + i(y + a)}{x + i(y - a)} \quad (1)$$

を考えるものをすれば、 $d = \text{const.}$ の曲線は二円孔の境界とその一部分とする内孔群であり、 $\beta = \text{const.}$ は ϕ に直角す二円孔群を表わす。

この座標系を用いて Fig. 1 に示すように面外(Z軸)方向の荷重 τ_{xy}^0, τ_{yz}^0 の作用のもとで、変位の一価性を満足するように応力関数 $\psi(\alpha, \beta)$ を次式のように仮定す。

$$\psi(\alpha, \beta) = \sum_{n=1}^{\infty} \{ P_n(\alpha) \cos n\beta + Q_n(\alpha) \sin n\beta \} \quad (2)$$

$\theta = 1/\alpha$,

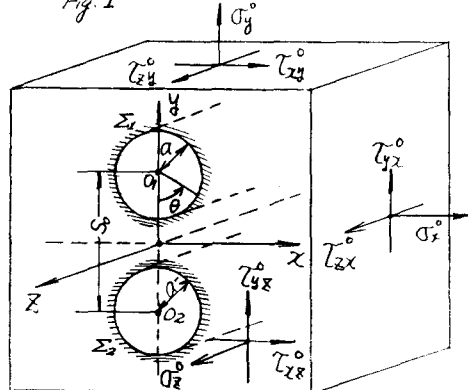
$$\begin{aligned} P_n(\alpha) &= E_m \cosh n\alpha + F_m \sinh n\alpha \\ Q_n(\alpha) &= E'_m \cosh n\alpha + F'_m \sinh n\alpha \end{aligned} \quad (3)$$

$\theta = 3\pi/2$ 、外荷重 τ_{xy}^0, τ_{yz}^0 を作用する場合の内孔のはり彈性体の仮想内孔周縁上の応力 τ_{xy}^0, τ_{yz}^0 を級数表示すれば、

$$\begin{aligned} \tau_{xy}^0 &= -\tau_{yz}^0 e^{i\alpha} + 2 \sinh \sum_{n=1}^{\infty} C^n (\tau_{xy}^0 \sin n\beta + \tau_{yz}^0 \cos n\beta) \\ \tau_{yz}^0 &= \tau_{xy}^0 e^{i\alpha} + 2 \sinh \sum_{n=1}^{\infty} C^n (\tau_{yz}^0 \sin n\beta + \tau_{xy}^0 \cos n\beta) \end{aligned} \quad (4)$$

となる。ただし $\alpha > 0$ のとき上式が成り立つ。すなはち $\alpha < 0$ のときは上式が成り立たない。

Fig. 1

Table 1 Equal Holes ($a = a'$), $S_{22}^0 = 1.20$

θ	σ_θ around Σ_1			σ_θ around Σ_2	
	$\sigma_{xx}^0 = 1.0$	$\sigma_{yy}^0 = 1.0$	$\tau_{xy}^0 = 1.0$	$\sigma_{xx}^0 = 1.0$	$\sigma_{yy}^0 = 1.0$
0°	4.417	-0.430	0.0	3.535	0.0
15°	3.817	-0.415	5.485	3.020	0.136
30°	2.695	-0.392	5.221	2.104	0.473
45°	1.438	0.121	3.415	1.355	0.945
60°	0.221	1.122	1.839	0.765	1.378
75°	-0.629	2.073	0.241	0.231	1.681
90°	-0.926	2.581	-1.532	-0.289	1.825
105°	-0.622	2.499	-3.209	-0.793	1.810
120°	0.160	1.905	-4.364	-1.260	1.649
135°	1.216	0.996	-4.639	-1.660	1.359
150°	2.263	0.051	-3.867	-1.967	0.966
165°	3.020	-0.647	-2.190	-2.160	0.501
180°	3.295	-0.903	0.0	-2.227	0.0

しかし、実際は二内孔周

縁は自由境界であるから、境界条件としては式(4)における
 $\tau_{\theta z}^{\circ}$ (法線方向せん断応力)
と絶対値が等しく反対符号の
外荷重と内孔周縁に作用するせん断応力を $\tau_{\theta z}^{\circ}$ とする。

双極座標系で表わした面外
せん断応力 $\tau_{\theta z}^{\circ}$, $\tau_{\theta z}^{\prime \circ}$ は式(2)
の応力関数と用いて

$$\tau_{\theta z}^{\circ} = h \frac{\partial \psi}{\partial \beta}, \quad \tau_{\theta z}^{\prime \circ} = h \frac{\partial \psi}{\partial \alpha}, \quad h = \frac{1}{a_0} (\cosh \alpha - \cos \beta) \quad \dots \dots (5)$$

で手の方から、したがって面外せん断応力 $\tau_{\theta z}^{\circ}$, $\tau_{\theta z}^{\prime \circ}$ は式(4)および式(5)の結果を重ね合わせれば求まる。

3. 数値計算例

三次元地山内に二個の等しい径の内孔 Σ_1 および Σ_2 を設けた場合に、外荷重として $\sigma_x^0, \sigma_y^0, \sigma_z^0, \tau_{xy}^0, \tau_{yz}^0$ の単位応力が作用したときの孔壁応力 $\tau_{\theta z}^0, \tau_{\theta z}^{\prime \circ}$ の値を求めたものがTable 1 である。 $\theta = 45^\circ$
は二等内孔の接触距離 S_0 と $S_0/2a = 1.20$ とした場合の孔縁上 $\theta = 15^\circ$
の内側 α の応力値である。面内荷重 $\sigma_x^0, \sigma_y^0, \sigma_z^0$ の場合の結果と τ_{xy}^0, τ_{yz}^0 の場合の結果とほとんど一致して $\tau_{\theta z}^0, \tau_{\theta z}^{\prime \circ}$ が作用する場合の結果を $S_0/2a$ をパラメータとして図示すれば、Figs. 2, 3
のようである。点線で示したもののは、 $S_0/2a = 20$ すなはち、
一内孔のみが存在する時の分布である。 $\tau_{\theta z}^0$ が作用する場合(Fig. 3), かなり陥落応力集中の増大が認められる。
 $\tau_{\theta z}^{\prime \circ}$ が作用する場合(Fig. 2)では、周縁応力 $\tau_{\theta z}^{\prime \circ}$ は一内孔の場合に比べて、多少の応力低下を示している。

次に、このTable 1 に示した結果を適当に重ね合せると、
によって、任意に傾斜した三次元的(地山荷重が作用する場合に、二等内孔($S_0/2a = 1.20$ の場合の)の周縁での応力を簡単に計算することができる。いま、例えればFig. 4 で示すような三次元地山荷重が作用する場合の、二内孔周縁の応力 $\tau_{\theta z}^0, \tau_{\theta z}^{\prime \circ}$ および $\tau_{\theta z}^{\circ}$ の分布を内孔上につけて図示すればFig. 5 のようになる。図中に点線で示したものは一内孔の場合の同一荷重下での分布である。なお、この計算ではボアソン比 $V = 0.25$ として σ_z^0 を求めた。

4. おまけ

二等内孔($\alpha + \alpha'$), $S_0/2a$ の変化した場合の例については講演会当日に発表する。

Fig. 2

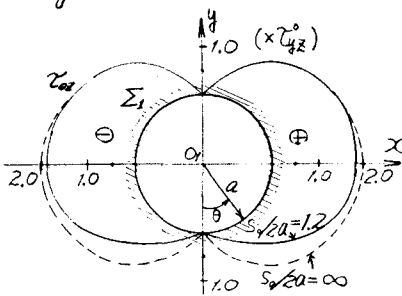


Fig. 3

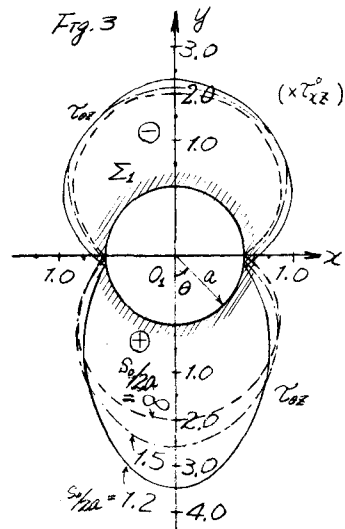
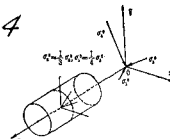


Fig. 4



地山内の応力状態の一例

	α_1^0 方向	α_2^0 方向	α_3^0 方向
x	64°14'	32°43'	71°15'
y	119°37'	94°20'	30°00'
z	41°09'	122°22'	67°27'
$\sigma_1^0 = \frac{1}{3} \sigma_0^0, \quad \sigma_2^0 = \frac{1}{4} \sigma_0^0$			
$(\sigma_3^0 = 0.387 \sigma_0^0, \quad \sigma_2^0 = 0.813 \sigma_0^0, \quad \sigma_1^0 = 0.384 \sigma_0^0)$			
$(\tau_{xy}^0 = 0.203 \sigma_0^0, \quad \tau_{xz}^0 = 0.055 \sigma_0^0, \quad \tau_{yz}^0 = 0.253 \sigma_0^0)$			

Fig. 5

